

建設省土木研究所 正員 舟見清己

" " 沢田健吉
" " 古賀泰之

1. まえがき

錆返しせん断力を受ける土の動的変形特性を求める試験は、近年種々の試験法により多く研究がなされてゐる。我々もこれまでに実施して来たいくつかの模型盤土の振動実験を解析するための土の物性を求めるために、単純せん断型の簡単な動的せん断試験装置を試作し、主として錆返しせん断に対する砂の変形特性を求める予備的実験を実施したので、その結果を報告する。

2. 実験装置

実験装置は、基本的には錆返しせん断を受ける土の動的変形特性和等価せん断弾性係数(以下 G_{eq})や等価減衰定数(h_{eq})といった定数として求めることを第一の目的としたものであり、その概要を図-1に示す。供試体は、径100mm、高さ40mmの円柱であり、上載荷重は最大で0.5kg/cm²に相当する重りにより与え、その重りに水平方向に錆返し荷重を与えることとする単純せん断型の装置である。供試体の側面への膨脹破壊を拘束するためにゴムスリーブの外側に内径101mm、外径107mm、高さ2mmのアルミリングを積重ねてはめていふ。尚、この装置は、供試体及び載荷重との動的剪切装置用いた載荷台の上に設置することにより、供試体は錆返しせん断力及び慣性力を与えることも可能である。

3. 実験方法

実験試料は $G_s = 2.64$, $D_{10} = 0.180\text{ mm}$, $D_{60} = 0.370\text{ mm}$, $D_c = 2.06$ の山砂を乾燥状態で用いた。基本的には荷重条件は、初期せん断力 = 0 の下で、振動数0.5c/sの定ひずみ振幅載荷を約120回錆返し、これを振幅の小さい静荷から大きな絶対値へと行なうものである。この各絶対値におけるせん断応力へせん断ひずみ履歴のループから、 G_{eq} (1c-2°の傾きから求め)、 h_{eq} (1c-2°の面積から求め)と示す。せん断ひずみは、載荷重に取付けたストレインゲージ式の変位計の水平変位から求めたが、計算とするとせん断ひずみ振幅よりの範囲にあり、容積が土0.04mm³、±0.4mmの変位計を使つたが、その結果として修正するように、 $\pm 0 \div 10^{-5} \sim 10^{-2}$ の範囲に亘る2種類の変形特性を求めたところである。なお、上載荷重は0.1, 0.5kg/cm²の2種類とした。

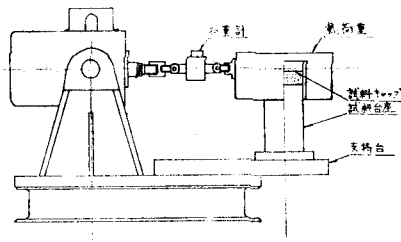


図-1 錆返し剪断装置

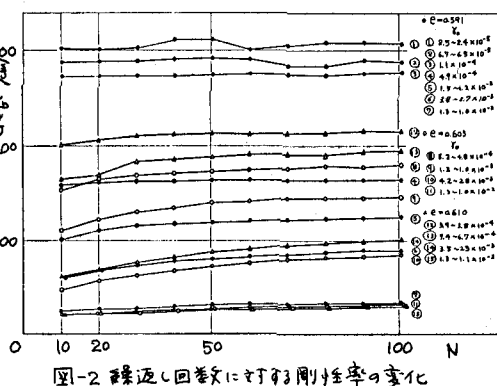


図-2 錆返し回数に対する剛性率の変化

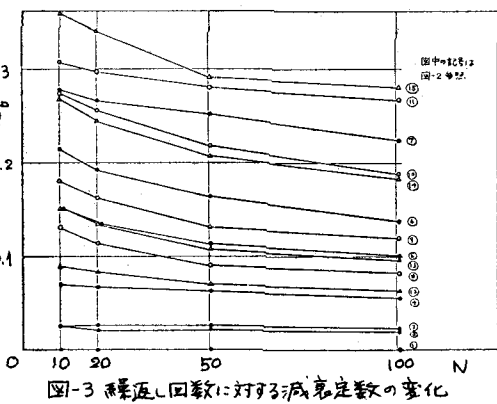


図-3 錆返し回数に対する減衰定数の変化

4. 実験結果

図-2, 3 は G_{eq} , h_{eq} の繰返し回数に対する変化の例を示す。これから次のようにいえる。
 ① G_{eq} の大きさ $\epsilon = 3$, h_{eq} の小さい $\epsilon = 3$, すなはち、ひずみ振幅の小さい $\epsilon = 3$ の場合は ($\gamma_0 < 3 \times 10^{-5}$ 程度) では、
 G_{eq} , h_{eq} は繰返し回数によらずほぼ一定である。
 ② G_{eq} の大きい $\epsilon = 3$, h_{eq} の大きい $\epsilon = 3$, すなはち、ひずみ振幅の大きい $\epsilon = 3$ の場合は、繰返し回数とともに G_{eq} は増加し、 h_{eq} は減少する。
 ③ 以上に $\epsilon = 3$ の場合に h_{eq} の方が著しく、又、 $\epsilon = 3$ の方が多くの繰返し回数まで影響を継続する。これは、 $\epsilon = 3$ の完全な一定には保てないが僅かに減少する影響を含んでいいから、粒子配列の変化も一因であると思われる。又、数少ないデータではあるが、大きなひずみ振幅での試験を行なうと、その後に、小さなひずみ振幅での試験を行なうと G_{eq} は以前の値より増加し、 h_{eq} は若干低下する。
 ④ これでも粒子配列の影響は帰らぬよう。以下の説明が、繰返し回数20回における値を用いる。
 G_{eq} , h_{eq} に対して ϵ が与える影響を図-4, 5 に示す。このような特徴は從来からいわれているものと同様であるので、

主な考察の述べる。
 ① G_{eq} は、今回の実験範囲では $\gamma_0 = 10^{-5}$ 附近で最大値 G_{max} となる。
 ② G_{eq} の値、 γ_0 に対する依存性は基本上に従来報告されていいる単純せん断型の試験装置による結果¹⁾ とほぼ同一であるが、芯棒円柱型の試験装置による結果と $K_0 = 0.5$ とみて平均主応力が等しい状態で比べて約 60% 程度の差となる。
 ③ 従来からも指摘されていよいなり²⁾、繰返し回数、応力条件等の原因があげらるようか、其の原因は今のところ分らない。
 ④ h_{eq} は、 $\gamma_0 < 2 \sim 3 \times 10^{-5}$ においては、 $\epsilon = 0$ のままで $\epsilon = 0$ と見なせる。 h_{eq} は ϵ とともにどのようなくずれを示すかは、図-4 の傾向からいはつきりしないが、 $\gamma_0 = 10^{-2}$ 附近の傾向から推定して h_{eq} の上限値 h_{max} は 0.3 程度となる。
 ⑤ h_{eq} は G_{eq} とは異なり、 ϵ の影響は直線的ではなく、 $\gamma_0 = 10^{-5}$ では $\epsilon = 1$ の定常値と思われる。

⑥ G_{eq} を G_{max} と、 h_{eq} を h_{max} で無次元化し両者の関係を調べたものが図-5 であるが、この関係は Hardin 等が半理論的に導いた G_{eq} と h_{eq} の関係 $G_{eq}/G_{max} + h_{eq}/h_{max} = 1$ ³⁾ にかなり近いといえよう。

今後の課題として次のような項目を考慮している。
 ① 増加する試験方法による差の原因の解明、
 ② 軟的変形特性における小量せん断の影響、
 ③ 定常載荷試験を得られた結果の不規則載荷への適用性の検討。最後に、この実験の多くを担当された元千葉工業大学学生今里宗之氏に感謝の意を表す。

5. 参考文献
 1) Silver, etc.: SM8, Vol. 97, Proc. ASCE, 1971.
 2) 著者他: 土木学会論文報告集 No. 229, 1975.
 3) Hardin, etc.: SM7, Vol. 98, Proc. ASCE, 1972.

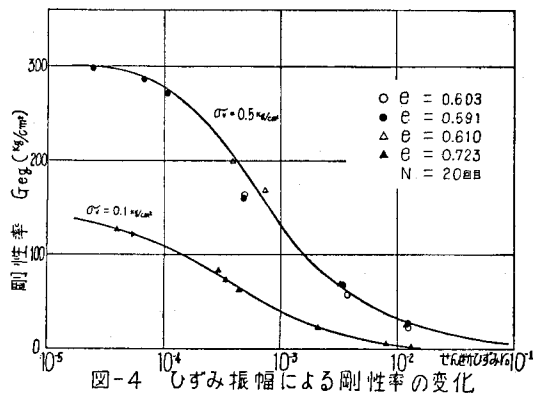


図-4 ひずみ振幅による剛性率の変化

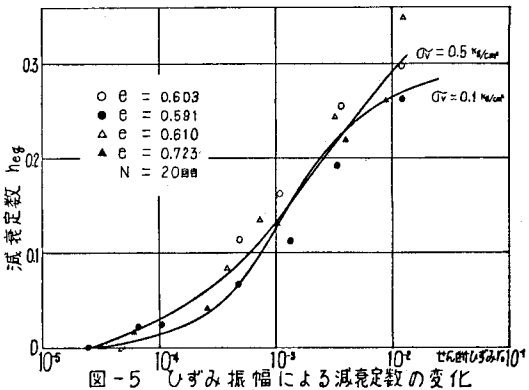


図-5 ひずみ振幅による減衰定数の変化

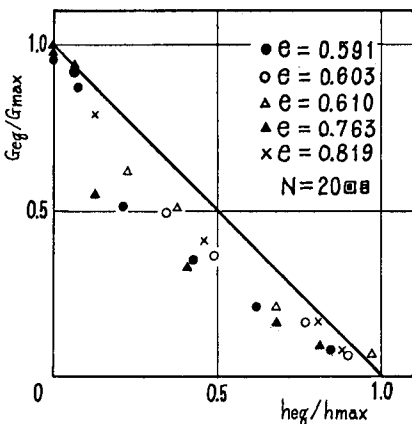


図-6 G_{eq}/G_{max} と h_{eq}/h_{max} の関係